

銅スラグ細骨材コンクリートの凍結融解抵抗性

八戸工業大学 学員 ○ 大北 泰生

正員 庄谷 政美

正員 杉田 修一

1. はじめに

銅スラグ細骨材は、比重が3.5前後と重く、組成がガラス質で角ばりのある形状を有することなどから、コンクリートの品質に解決を必要とする問題点が存在すると考えられる。その一つとして、ブリーディングが多くなり、コンクリートの耐凍害性が低下する等の懸念が指摘される。本研究は、銅スラグ細骨材を用いたコンクリートの配合、及びフレッシュコンクリートの品質との関連で、硬化コンクリートの耐凍害性に視点をあて基礎的な検討を実施したものである。

2. 実験概要

2-1 使用材料：セメントは普通ポルトランドセメントを用いた。細骨材は4種類の銅スラグ細骨材と混合用及びコントロール用の川砂であり、表-1に物理的試験結果を示す。用いたスラグ細骨材は粉碎加工処理を施したもので、粒度分布はFNS 2.5の粒度範囲に適合するものであった。粗骨材は、硬砂岩碎石(粒径20mm、量2.71)を用いた。混和剤はヒドロキシ系複合体天然樹脂酸塩系のAE減水剤を使用した。

2-2 配合及び各種試験：試験は表-2に示すように、水セメント比5.5, 6.0, 6.5%で2種類の銅

スラグ細骨材混合率(総合50%以下100%)と空気量(7%以上5%)の組み合わせで実施した。コンクリートの練混ぜは強制練りミキサを用い、締固めはすべて棒突き法で行った。スランプはすべて8cmを目指したが、最適s/aを求めて単位水量を試的に定めた。凍結融解試験は、ASTM C666 A(水浸漬・水中振撲法)により

10×10×40cm供試体を用い材令14日より実施した。なお気泡組織の測定もASTM C457-82aに従って実施した。銅スラグ細骨材自体の凍結融解抵抗性を調べるために、φ10×20cm円筒内に750gの試料を水浸させ、ブライン槽内に容器を固定して凍結融解150サイクルでの損失量を求めた。なお、円筒内の中心温度は-22°C～+10°Cであった。他の試験は基本的にJISの方法に従った。

3. 実験結果

3-1 配合特性及びフレッシュコンクリートの品質：銅スラグ細骨材を使用した場合、最適s/a値は川砂使用と大きな差は認められなかった。銅スラグ細骨材単味使用の場合、単位水量は6～11%増加したが、エントラップトエアーは最大2%程度増加する傾向にあるため、所要空気量を得る空気量調整剤は減少した。表-4に見られるように川砂コンクリートのブリーディング量に比べて銅スラグ細骨材コンクリートのブリ

表-1 使用細骨材の種類と物理的性質

細骨材種類	記号	比重	吸水率(%)	F.M.	真密度(%)	備考
銅スラグ細骨材	G	2.61	1.10	2.75	66.5	大井川産(100%使用)
	A	3.56	0.55	2.44	64.4	三笠マテリアル・瀬島(100%、50%使用)
	B	3.55	0.45	2.33	65.6	小名浜精選・小名浜(100%、50%使用)
	C	3.61	0.50	2.41	67.3	日高合興・佐賀郡(100%、50%使用)
	D	3.63	0.52	2.21	66.1	小坂精選・小坂(100%、50%使用)
	E	3.66	0.50	2.59	66.8	日比谷四郎助・五好(100%、50%使用)
	F	3.45	0.40	2.24	66.1	佐久今井山・猪子(100%、50%使用)

試験計画(進行中)

水セメント比	水セメント比5.5, 6.0, 6.5%			
	銅スラグ細骨材混合率			
	II	III	IV	V
3%	○	○	○	○
5%	○	○	○	○
8%	○	○	○	○

上記の条件でE鉛枠

表-2 凍結融解試験条件

W/C	W/C=5.5%			W/C=6.0%			W/C=6.5%		
	NON AE (ブレーン)			AE (空気量5%)			AE (空気量5%)		
	銅スラグ細骨材混合率			銅スラグ細骨材混合率			銅スラグ細骨材混合率		
I	II	III	IV	I	II	III	I	II	III
G	○	—	—	○	—	—	○	—	—
A	—	○	○	—	○	○	—	○	—
B	—	○	○	—	○	○	—	○	—
C	—	○	○	—	○	○	—	○	—
D	—	○	○	—	○	○	—	○	—
E	—	○	○	—	○	○	—	○	—
F	—	○	○	—	○	○	—	○	—

表-3 150サイクル経過後の銅スラグ細骨材の凍結融解損失量

回数	5-1.2mm サイズ		1.2-0.3mm サイズ	
	0.6mmより大きい過剰(%) (过大剰)	0.15mmより大きい過剰(%) (過剰)	0.6mmより大きい過剰(%) (过大剰)	0.15mmより大きい過剰(%) (過剰)
G	8.88	0.85		
A	0.21	0.19		
B	0.23	0.21		
C	0.19	0.17		
D	0.18	0.16		
E	0.08	0.05		
F	0.17	0.16		

一ディング量は2~3倍に増加した。

3-2 凍結融解抵抗性(1)銅スラグ細骨材自体

の凍結融解抵抗性：

表-3に見られるように、5~1.2mmサイズ、0.6~0.3mmサイズとともに、凍結融解作用による骨材粒の崩壊による損失量は、コントロール用川砂の1/100~1/4程度と極めて少なく、耐久性に優れていることが認められた。

(2)銅スラグ細骨材コンクリートの凍結融解抵抗性と気泡組織：図-1~4に凍結融解試験における相対動弾性係数～サイクル数の関係例を示した。NON AEコンクリートの場合では、川砂コンクリートに比べ銅スラグ細骨材コンクリートの耐凍害性は、W/C=55, 60%のとき顕著な低下傾向を示した。しかし、空気量を5%まで高めた場合には、銅スラグ細骨材単味使用の場合でも、300サイクルでの相対動弾性係数は60以上の値となり、エントラップトエアーの増加による影響を考慮しなくとも、耐久性を確保できることが示された。また、全般的に銅スラグ細骨材混合率50%のケースは、耐久性に優れた結果となったが、鉛柄Eでは、W/C=65%の時、相対動弾性係数が60%を下回る結果を示し

た。表-4に気泡組織の観察結果も含め、耐久性指数D.F.値、質量変化率等の一覧を示した。銅スラグ細骨材コンクリートでは、空気量5%の条件でのEの値は川砂使用コンクリートに比べ若干大きくなり、D.F.値の傾向はこのEの大きさだけで説明できない場合があった。

エントラップトエアーが多かった銅スラグ細骨材Aのケースは、川砂使

用コンクリートと類似の分布となつたが、その他のスラグ種別では50μm以下のサイズが少なく、フラットな分布となっており、骨材粒の形状、表面特性や粒度などによる空気量調整剤の起泡能力への影響や、500μm以上のサイズに占める空気量の増加が顕著であることから、ブリーディングの増大が関連している疑いがある。

表-4 凍結融解試験結果一覧

細骨材 種別	鉛柄	セメント 種類	W/C	フレッシュコンクリート						硬化コンクリート					
				(kg/m ³)	(kg/m ³)	(kg/m ³)	(kg/m ³)	Air (%)	Air (%)	質量 変化率 (%)	E (1/mm)	D.F.	質量 変化率 (%)		
G	0	P-L	55	1.63	4.6	0.36	0.36	1.2	0.9	6.67	12.3	20.4	3.2		
	0	A-5	55	1.57	4.6	0.24	0.24	5.4	5.1	2.75	14.3	14.6	5.4		
	100	P-L	55	1.68	4.4	0.69	0.69	3.2	2.1	7.56	9.7	14.6	0.2		
A	50	A-5	55	1.68	4.5	0.6	0.67	1.8	1.6	9.77	8.3	17.6	0.9		
	100	A-5	55	1.64	4.4	0.43	0.43	5.3	3.6	3.09	17.9	8.6	1.9		
	50	A-5	60	1.70	4.4	0.66	0.66	5.1	4.1	2.65	18.2	8.5	4.7		
B	100	P-L	55	1.95	4.4	0.65	0.65	1.8	1.6	14.86	5.4	13.2	0.6		
	50	P-L	55	1.78	4.3	0.62	0.62	5.3	4.7	3.67	12.6	7.9	5.0		
	100	A-5	60	1.65	4.5	0.59	0.59	4.1	3.3	1.80	4.1	10.2	0.8		
C	50	P-L	55	1.67	4.4	0.52	0.52	6.4	4.8	2.00	17.2	9.2	3.6		
	100	A-5	60	1.76	4.4	0.61	0.61	4.8	4.5	3.51	16.6	8.9	4.3		
	50	A-5	65	1.67	4.5	0.62	0.62	5.0	4.6	2.95	17.2	7.0	2.5		
D	100	P-L	55	1.92	4.4	0.72	0.72	3.0	1.8	1.133	8.7	16.0	0.7		
	50	A-5	55	1.67	4.3	0.64	0.64	4.8	4.8	2.87	16.1	7.8	5.3		
	100	P-L	55	1.87	4.5	0.70	0.70	2.0	1.9	1.842	5.1	11.8	0.7		
E	50	A-5	60	1.84	4.4	0.41	0.41	5.1	4.8	2.71	16.7	8.5	5.7		
	100	A-5	60	1.67	4.4	0.66	0.66	5.1	5.2	2.87	16.5	8.6	7.4		
	50	A-5	65	1.84	4.5	0.64	0.64	5.4	4.7	2.71	16.8	8.6	4.7		
F	100	P-L	55	1.90	4.4	0.71	0.71	1.8	1.7	1.133	8.0	17.6	0.6		
	50	A-5	55	1.89	4.3	0.64	0.64	5.2	4.9	2.55	15.8	7.4	3.5		
	100	P-L	55	1.88	4.5	0.68	0.68	2.2	1.8	1.835	4.5	17.8	0.0		
G	50	A-5	60	1.63	4.4	0.48	0.48	4.7	5.1	2.36	17.8	8.4	1.8		
	100	A-5	60	1.89	4.4	0.89	0.89	5.3	5.0	3.03	16.7	6.5	5.0		
	50	A-5	65	1.63	4.5	0.65	0.65	4.7	5.1	2.99	16.9	8.4	7.1		
H	100	P-L	55	1.85	4.4	0.71	0.71	1.8	0.9	1.132	8.5	10.8	0.1		
	50	A-5	55	1.88	4.3	0.69	0.69	5.3	5.2	2.91	15.5	8.7	2.9		
	100	P-L	55	1.80	4.5	0.64	0.64	4.9	1.7	1.546	4.2	11.9	0.3		
I	50	A-5	60	1.83	4.4	0.47	0.47	5.4	5.0	2.77	16.8	8.8	3.8		
	100	A-5	60	1.68	4.4	0.65	0.65	4.8	4.8	2.68	16.0	8.1	0.5		
	50	A-5	65	1.83	4.5	0.62	0.62	5.2	5.0	3.13	15.4	5.8	7.3		
J	100	P-L	55	1.88	4.4	0.62	0.62	2.1	1.7	1.205	6.6	10.5	0.2		
	50	A-5	55	1.86	4.3	0.6	0.6	5.3	4.4	3.10	16.1	7.1	4.0		
	100	P-L	55	1.81	4.5	0.58	0.58	1.5	1.7	1.740	4.4	11.5	0.3		
K	50	A-5	60	1.83	4.4	0.58	0.58	4.8	4.1	3.19	16.2	8.7	5.7		
	100	A-5	60	1.68	4.4	0.54	0.54	5.0	4.6	2.75	16.3	8.7	3.8		
	50	A-5	65	1.83	4.5	0.58	0.58	5.1	4.8	2.86	16.3	8.5	2.5		

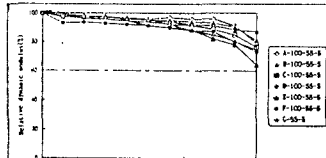


図-1 相対動弾性係数～サイクル数

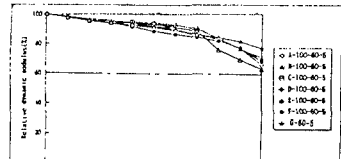


図-3 相対動弾性係数～サイクル数

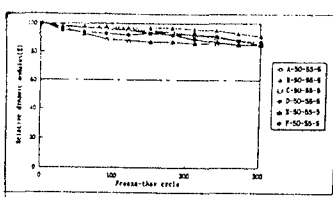


図-2 相対動弾性係数～サイクル数

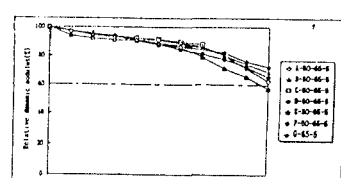


図-4 相対動弾性係数～サイクル数